

# تأثیر پارامترهای هیدرولیکی مؤثر در عملکرد سرریز نیم‌سیکل کسینووسی نسبت به سرریز مستطیلی

سعید صالحی (دکتری)

کاظم اسماعیلی\* (دانشیار)

دانشکده‌ی هندسی عمران، دانشگاه فردوسی، مشهد

مهندسى عمران، شرف، (پیزون ۱۳۹۸) ۱۲-۳، ص. ۱/۳، شماره ۵-۲، دوری ۲

یکی از راهکارهای مناسب برای حل مشکل انشاست رسوبات در بالادست سرریزهای لبه‌تیز، تغییر شرایط هیدرولیکی سرریز است. با تغییر هندسه‌ی سرریز، شرایط هیدرولیکی بالادست آن تغییر می‌کند که عاملی بر تغییر شدت آشفتگی در پشت سرریزهاست. گرچه ایجاد آشفتگی باعث کاهش ضربی دبی سرریز می‌شود، اما می‌تواند باعث افزایش شرایط خودپالابنی رسوبات ناحیه‌ی بالادست سرریز نیز شود. ازین رو پژوهش حاضر با هدف معزوفی نوع جدید سرریز لبه‌تیز با دیواره‌ی نیم‌سیکل کسینووسی انجام شده است. در این راستا، ابتدا سه مدل از سرریز لبه‌تیز با دیواره‌ی نیم‌سیکل کسینووسی با بازشدگی‌های صفر ۳ و ۶ سانتی‌متر ساخته و یک مدل مستطیلی نیز به عرض مشابه با ۳ سرریز دیگر به عنوان شاهد در نظر گرفته شدند. برداشت الگوی جریان توسط سرعت سنج صوتی ADV در ناحیه‌ی بالادست سرریز نشان داد که با افزایش بازشدگی سرریز، شدت آشفتگی افزایش پیدا می‌کند. بیشترین میزان شدت آشفتگی در سرریز با بازشدگی  $w/b = 0/2$  مشاهده شد. همچنین ضربی دبی سرریز در جریان آزاد ازیابی شد و نتایج نشان داد که به ازاء  $h/P = 0.78$ ، ضربی دبی سرریزهای کسینووسی از سرریزهای مستطیلی کمتر می‌شود، ولی به ازاء مقنار مذکور، شدت آشفتگی که عاملی بر آب‌شستگی رسوبات است، افزایش پیدا می‌کند.

**واژگان کلیدی:** سرریز کسینووسی، سرعت سنج صوتی، ضربی دبی، شدت آشفتگی.

saeedsalehi100@gmail.com  
esmaili@um.ac.ir

## ۱. مقدمه

سرریزهای لبه‌تیز تاکنون مطالعه‌ی در زمینه‌ی سرریز با دیواره‌ی نیم‌سیکل کسینووسی صورت نگرفته است. هدف از مطالعه‌ی حاضر، ارائه‌ی رابطه‌ی ضربی جریان و بررسی خصوصیات جریان در سرریز کسینووسی با یک نیم‌سیکل است. لذا با توجه به مطالعات گذشته، پیش‌بینی اولیه در مورد افزایش شدت آشفتگی تخمين زده شده است. همچنین در پژوهش حاضر، مطالعات با هدف تأثیر شکل سرریز در شدت آشفتگی، ارزیابی ضربی دبی و معرفی سرریز جدید برای افزایش فرسایش در بالادست سرریزهای لبه‌تیز انجام شده است.<sup>[۱]</sup>

پس از نصب مدل‌های ساخته شده در کانال آزمایشگاهی، دبی و عمق جریان بالادست برای محاسبه‌ی ضربی دبی و همچنین نیمرخ‌های سرعت به منظور بررسی خصوصیات جریان عبوری از روی این سرریزها برداشت شده است. به منظور تعیین رابطه‌ی بار هیدرولیکی-دبی با استفاده از روابط تئوری حاکم بر جریان، رابطه‌ی به‌دست آمده به علم داشتن توابع انتگرالی، چندان مناسب اهداف عملی نبود. لذا با حذف توابع انتگرالی، رابطه‌ی کاربردی برای

امروزه سرریزهای لبه‌تیز به صورت گسترشده‌ی در کانال‌های آبیاری برای اندازه‌گیری دبی در کانال‌های درجه ۳ و ۴ استفاده می‌شود. با توجه به کمبود آب و همچنین بالا رفتن حساسیت در میزان آب ورودی به مزارع، انشاست رسوبات در بالادست سرریزهای لبه‌تیز مشکلاتی در محاسبه‌ی دبی به وجود می‌آید؛ چرا که با افزایش ارتفاع رسوبات در بالادست سرریزها، ضربی دبی به مقادیر محسوسی کاهش می‌یابد و اندازه‌گیری سهم آب مزارع به چالش کشیده می‌شود. یکی از راهکارهای ازین بدن مشکل ذکر شده، ایجاد شرایط هیدرولیکی در کانال بالادست سرریزها برای بالا بردن آب‌شستگی رسوبات است که در سال‌های پیشین، این موضوع مورد اهمیت واقع شده است.

با وجود مطالعات گسترشده در زمینه‌ی سرریزها و در میان شکل‌های متفاوت

\* نویسنده مسئول

تاریخ: دریافت ۹، ۱۳۹۶، ۳، /صلاحیه ۷، ۱۳۹۶، ۹، ۱۴، پذیرش ۱۴، ۱۳۹۶، ۹، ۱۴.

DOI:10.24200/J30.2019.20921

شده در پشت سرریز در انتقال رسوایات، نتایج نشان داده است که تغییر شرایط هیدرولیکی باعث کاهش با افزایش قدرت جریان گردابی تشکیل شده در بالا دست سرریزها می شود. همچنین در پژوهش مذکور با مقایسه مدل نرم افزاری با مدل آزمایشگاهی سرریز لبه تیز بیان شد که بیشترین مقدار آب شستگی بالا دست در ناحیه ای اتفاق می افتد که بیشترین شدت آشفتگی وجود داشته باشد. پروفیل گودال آب شستگی در بالا دست سدهای بتی برداشت شد و در نهایت با ترسیم پروفیل در زمان های مختلف، تأثیر شرایط جریان در افزایش آب شستگی بررسی شده است.<sup>[۱]</sup>

گوان (۲۰۱۴) نیز مطالعه بی در رابطه با تأثیر عدد رینولدز و شدت آشفتگی در گودال آب شستگی سرریزهای لبه تیز مستقرق در پایین دست و بالا دست سرریز ارائه کرده است که در آن به تأثیر پارامترهای جریان از جمله شدت آشفتگی و تنش های رینولدز در افزایش ارتفاع آب شستگی در سرریزهای لبه تیز پرداخته و با استفاده از داده های سرعت سنجی ADV، اجزاء سرعت، اندازه گیری و محاسبه شده اند. در ادامه، نیز با استفاده از پارامترهای مذکور، مشخصه های جریان از جمله تنش رینولدز جریان و شدت آشفتگی از روابط ارائه شده در مراجع حساب شده و با مقایسه ای نتایج به دست آمده با ارتفاع گودال آب شستگی حاصل از جریان مخصوص شد که آشفتگی و تنش رینولدز در مکانی که بیشترین مقدار باشند، بیشترین عمق آب شستگی رخ می دهد. با توجه به پژوهش مذکور می توان این موضوع را برداشت کرده که شدت آشفتگی تأثیر زیادی در افزایش آب شستگی دارد و در مکان های مثل خروجی سد که نیاز به آب شستگی است (مطالعات اوتا)، می توان از راهکار ارائه شده بهره برد.<sup>[۲]</sup>

گوان و ملوین (۲۰۱۵) نیز مطالعه ای در رابطه با سرریزهای لبه تیز در جریان مستقرق و آزاد انجام داده و با توجه به تأثیر آشفتگی در انتقال رسوایات در پایین دست و بالا دست سرریزها، گودال آب شستگی در پایین دست و بالا دست سرریز با استفاده از داده های سطح سنجی برداشت شده و روابطی برای تخمین آب شستگی بالا دست و پایین دست سرریزهای لبه تیز ارائه کرده اند. مطالعات ایشان در دو بخش مستقرق و غیر مستقرق بی گیری شد که در حالت مستقرق به خاطر کاهش شدت آشفتگی در پایین دست و بالا دست، شرایط جریان باعث کاهش رسوایش شوند که در بالا دست سرریزهای لبه تیز ارائه شده است. همچنین روابط تخمین عمق آب شستگی در پایین دست و بالا دست سرریزها با استفاده از روش آنالیز ابعادی ارزیابی و روابطی برای تخمین عمق آب شستگی از پارامترها و شرایط هیدرولیکی جریان ارائه شده است.<sup>[۳]</sup>

همچنین عرضی و همکاران (۲۰۱۴) در بررسی سرریزهای سینیوسی در یک سیکل، با استفاده از داده های سرعت سنجی در پشت سرریز، آشفتگی جریان و آثار آن در ضریب دبی جریان را مطالعه کرده اند. آن ها با محاسبه ضریب دبی سرریزهای سینیوسی شکل، روابطی با توجه به عمق بالا دست سرریز برای جریان آزاد ارائه و با توجه به نتایج بدست آمده، متوسط ضریب دبی را تقریباً برابر با مقدار ۵/۷ در روی سرریزهای سینیوسی درست شده اند. همچنین روابطی با توجه به نتایج بدست آمده، متوسط ضریب دبی را تقریباً برابر با مقدار ۵/۰ در روی سرریزهای سینیوسی درست شده اند. همچنین نتایج بررسی اغتشاش و آشفتگی بر روی سرریز سینیوسی پیشنهاد کرده اند. همچنین نتایج بررسی اغتشاش و آشفتگی بر روی سرریز سینیوسی نشان داد که سرریز سینیوسی نسبت به سرریز لبه تیز مستطیلی در حدود ۱۵٪ میزان شدت آشفتگی را افزایش می دهند و این امر باعث جلوگیری از رسوایگذاری در پشت بدنی بالا دست سرریز می شود. فرق سرریز سینیوسی با سرریز مورد مطالعه در پژوهش حاضر، تفاوت در تابع استفاده شده در فشردگی سرریز است. بدین صورت که در سرریز سینیوسی از تابع سینیوس در بازه ۰ تا ۳۶ درجه از تابع سرریز تا ارتفاع بالای سرریز استفاده شده است.<sup>[۴]</sup> در حالی که در پژوهش حاضر از تابع کسینوس با بازه ۰ تا ۱۸ درجه در مطالعات اوتا (۲۰۱۶) در رابطه با تأثیر جریان گردابی تشکیل

تعیین دبی جریان ارائه شده است. در رابطه با هیدرولیکی - دبی اصلی که شامل تابع انتگرالی است، ضریب  $C_d$  با نسبت هد نسبی ( $h/P$ ) تحلیل شده است. با استفاده از سرعت سنج صوتی که در ادامه به آن اشاره شده است، با اعمال شبکه بنده منظمی در پشت سرریز سمعی در برداشت سرعت در جهت های مختلف شده است. این امر به منظور پیگیری تغییرات سرعت های ذکر شده بر ضریب دبی و همچنین آشفتگی جریان در پشت سرریز صورت گرفته است.<sup>[۱]</sup>

سرریزها طی سال های گذشته در شکل ها و مدل های مختلفی ارائه شده اند.

تغییر شکل های صورت گرفته در ساختار ابتدایی سرریز به دلیل از بین بردن مشکلات مختلفی، که سرریزها با آن رو برو هستند، ارائه شده است که شامل:

۱. از بین بردن خطر کاویتاسیون،

۲. بالا بردن ضریب دبی برای کاهش هزینه ای اقتصادی ساخت سرریز

۳. کاهش اباحت رسوایات در پشت سرریزها،

۴. بالا بردن دقت اندازه گیری،

۵. ارائه راهکارهایی برای کاهش خطای در اندازه گیری دبی در حالت های آزاد و مستغرق.

تمامی موارد مذکور طی سال های متعددی برای بهبود کارکرد سرریزها مطالعه و بررسی شده اند. از مهم ترین موارد ذکر شده، که کاربرد سرریزها را به چالش کشیده و باعث تغییر وضعیت جریان و کاهش دقت اندازه گیری جریان شده است، رسوب گذاری در بالا دست سرریزهاست. برای حل مشکل مطرح شده، اموزه با پیشرفت علم هیدرولیک و شناخت ویژگی های جریان های متلاطم، به راهکارهایی برای ایجاد خودپالایی رسوایات از طریق افزایش آشفتگی در پشت سرریز را کاهش می دهد، شده است. افزایش آشفتگی، رسوب گذاری در پشت سرریز را کاهش می دهد، اما باعث کاهش ضریب دبی خواهد شد. بنابراین لازم است اهمیت خودپالایی سرریز در مقابل کاهش ضریب دبی آن بررسی شود. برای ایجاد آشفتگی در پشت سرریزها لازم است گرادیان سرعت در جهت های مختلف افزایش یابد. مطالعه رسوب گذاری در بالا دست سرریزها شده است. در سال های پیشین، پژوهشگران زیادی بر روی سرریزهای مستطیلی با فشردگی جانبی نشان داده است که فشردگی سرریزها باعث افزایش آشفتگی ایجاد شده می شود. از این رو در پژوهش حاضر، با تغییر فرم فشردگی سرریز به صورت تابع نیمسیکل کسینوسی، آشفتگی پشت سرریز تقویت شده است. در ادامه، با استفاده از روابط حاکم بر اندازه گیری دبی، شدت آشفتگی بررسی شده است. در سال های پیشین، پژوهشگران زیادی در زمینه ای ذکرشده مطالعاتی انجام داده اند که در ادامه به آن ها اشاره شده است.

## ۲. مطالعات انجام شده

در سال های گذشته افراد زیادی بر روی موضوعات خودپالایی رسوایات در بالا دست اند. این اندیشه با تغییر شرایط هیدرولیکی مطالعه کرده اند که از جمله آن ها می توان به مطالعات باود (۲۰۰۰) اشاره کرد. وی در بررسی تأثیر جریان گردابی تشکیل شده در بالا دست سرریز مستطیلی لبه تیز، تأثیر شرایط جریان بر انتقال رسوایات توسعه داده است. این اثرات را از بین تأثیر شرایط جریان بر انتقال رسوایات توسعه داده است. کمتر از ۱/۵ کمترین میزان انتقال رسوایات به پایین دست رخ می دهد.<sup>[۱]</sup> همچنین در مطالعات اوتا (۲۰۱۶) در رابطه با تأثیر جریان گردابی تشکیل

### ۳. مواد و روش‌ها

#### ۱.۳. ضریب دبی

##### ۱.۱.۳. روابط تحلیلی حاکم بر سرریزهای لبه تیز با دیوارهای قائم نیم‌سیکل کسینوسی

روابط حاکم بر سرریزهای لبه تیز با دیوارهای قائم نیم‌سیکل کسینوسی براساس معادله انرژی تجزیه و تحلیل می‌شوند. شکل ۱، نمای ساده‌بی از سرریز لبه تیز دیوار کسینوسی را نشان می‌دهد. که در آن،  $a$ : طول سرریز،  $P$ : ارتفاع تاج سرریز،  $h$ : ارتفاع آب از تراز تاج سرریز در بالادست،  $y$ : ارتفاع آب روی تاج سرریز،  $p$ : فشار آب،  $V_t$ : سرعت جریان در کانال بالادست و  $V_r$ : سرعت جریان روی تاج سرریز است. کاربرد رابطه انرژی با نوشتند معادله انرژی بین سطح آب بالادست و پایین دست سرریز مطابق رابطه ۱ ارائه شده است:

$$Z_1 + \frac{p_1}{\gamma} + \frac{V_1^2}{2g} = Z_2 + \frac{p_2}{\gamma} + \frac{V_2^2}{2g} \quad (1)$$

با توجه به ثابت بودن انرژی کل در هر مقطع، می‌توان رابطه ۲ را نوشت:

$$P + h + \frac{V_1^2}{2g} = (P + y) + \frac{V_r^2}{2g} \quad (2)$$

با تساوی دو رابطه ۱ و ۲، مقدار  $V_r$  از رابطه ۳ به دست می‌آید:

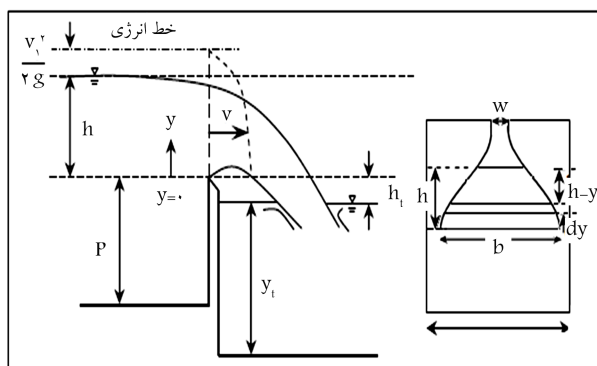
$$V_r = \sqrt{2g(y + \frac{V_1^2}{2g})} \quad (3)$$

حال اگر در عمق  $y$  از تاج سرریز، نوار باریکی با ارتفاع  $dy$  و سطح مقطع  $dy$  انتخاب شود. عرض آن از رابطه ۴ و  $V_r$  از رابطه ۵ به دست خواهد آمد:

$$b = w + 2b_1 \cos(\frac{\gamma n \pi y}{2H}) \quad (4)$$

$$V_r = \frac{Q}{b \times (y)} \quad (5)$$

که در آن،  $n$ : پارامتر مربوط به سیکل تابع کسینوس است که در پژوهش حاضر برابر با ۱ است. همچنین مقدار  $S$ : مقیاس سطح تابع کسینوس است که در مطالعه‌ی حاضر با بزرگ کردن ۹ برابری تابع کسینوس برابر با ۸۱ است. ملاحظه می‌شود که برای محاسبه‌ی دبی سرریز با جایگزین کردن مقدار  $V_r$  از رابطه ۳ در معادله ۵، رابطه‌ی پیچیده بر حسب  $Q$  به دست می‌آید که فقط از طریق سعی و خطای قابل محاسبه است. برای سهولت محاسبه، از عبارت  $\frac{V_r}{2g}$  در مقابل هد جریان  $h$



شکل ۱. سرریز لبه تیز دیوار کسینوسی و روابط حاکم.

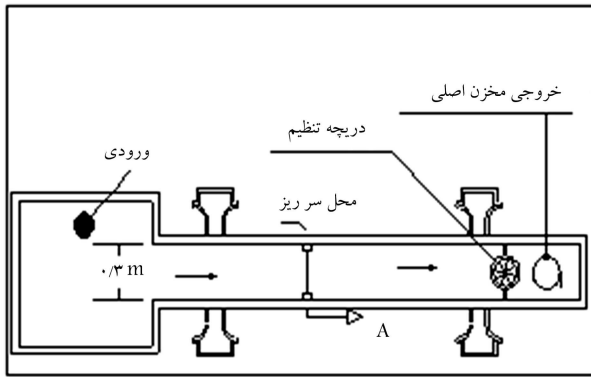
شدت تلاطم در بالادست سرریز در شبکه‌ی پشت سرریز محاسبه شده است. ولی در مطالعه‌ی اخیر سرریز سینوسی از نقطه‌های تصادفی برای برداشت شدت آشفتگی استفاده شده است. تعداد نقاط مذکور، ۱۵ نقطه‌ی پیشنهادی در مطالعات عربی و همکاران بوده است، ولی در پژوهش اخیر سرریز کسینوسی، برای مقایسه‌ی شدت آشفتگی دست‌کم ۶۶ نقطه‌ی ترسیم منحنی‌های شدت آشفتگی استفاده شده است.

سامانه‌وتی و همکاران (۲۰۱۳) نیز وضعیت جریان بر روی سرریزهای ۷ شکل را مطالعه کردند و ۷ سرریز شکل به صورت متواالی و کنارهم، عمود بر مسیر جریان برای افزایش دقت اندازه‌گیری دبی سرریز قرار دادند. پس از بررسی و تحلیل جریان عبوری از روی سرریز، نیز معادله‌ی برای تعیین ضریب دبی بر روی سرریزهای ۷ شکل ارائه کردند و بهترین زاویه‌ی رأس سرریز مثلثی برای جلوگیری از اختشاش را پیشنهاد دادند.<sup>[۷]</sup>

همچنین کورکسون و همکاران (۲۰۱۲)، وضعیت جریان را روی سرریزهای نوک اردکی خم‌دار بررسی و ارزیابی کردند و چند سرریز نوک اردکی بر عکس جریان و به صورت متواالی در مدل آزمایشگاهی ساختند. مجموعه‌ی سرریزهای ساخته شده به صورت خط صاف بر جریان به عنوان مدل‌های شاهد در نظر گرفته شدند و مدل‌های آزمایشی تجزیه و تحلیل کردند و نتایج به دست آمده نشان داد که ساختن سرریزهای مذکور بر روی کمانی از دایره، باعث کاهش آشفتگی و جدایش جریان می‌شود که به خودی خود این مسئله باعث افزایش ضریب جریان و همچنین طول مؤثر می‌شود. همچنین نتایج حاصل از تحلیل آشفتگی در دماغه‌ی سرریزهای نوک اردکی نشان داد که جدایش جریان در نوک اردکی و قسمت حمله، باعث کاهش ضریب جریان می‌شود. با تغییرشکل سرریز مذکور به صورت کمانی از دایره، مشکل ایجاد شده بهبود پیدا کرد. همچنین با توجه به تعداد سرریزهای نوک اردکی و طول موازی بر جریان آن‌ها، آزمایش‌ها پی‌کری شدند و بهترین طول و تعداد سرریزهای مذکور مشخص شد.<sup>[۸]</sup>

عظمی و همکاران (۲۰۱۶)، نیز در بررسی جریان بر روی سرریز لبه تیز در حالت مستغرق، پروفیل سطح آب در پایین دست سرریز را به ۴ قسمت تقسیم‌بندی و با تغییر عمق استغرق سرریز در پایین دست سرریز وضعیت تشکیل ۴ ناحیه‌ی ذکر شده (ناحیه‌ی بخورد جت خروجی، سطح پرش هیدرولیکی، سطح امواج و سطح جت) را ارزیابی کردند. نتایج نشان داد در حالتی که ارتفاع امواج کمتر از ۱۰٪ هد کلی سرریز است، منطقه‌ی جت خروجی با منطقه‌ی امواج بر هم منطبق هستند. ارائه‌ی روابطی برای برآورد ضریب دبی از دیگر نتایج پژوهش مذکور بوده است.<sup>[۹]</sup>

همچنین نالامتو و همکاران (۲۰۱۳) در بررسی جریان بر روی سرریزهای لبه پهن با شبیه‌الadan دست و شبیه پایین دست، ضریب دبی سرریزهای را برداشت و اندازه‌گیری کردند. نتایج بررسی ضریب دبی بر روی سرریزهای لبه پهن ذکر شده نشان داد که با افزایش شبیه در پایین دست، ضریب دبی افزایش پیدا می‌کند. ولی در بالادست، افزایش شبیه باعث کاهش ضریب دبی می‌شود. همچنین با ادامه دادن سرریزهای لبه پهن، ضرایب آن‌ها برداشت و تجزیه و تحلیل می‌شوند. در ادامه، در بالادست سرریز وضعیت آشفتگی سرریز محاسبه و آثار آن در ضریب دبی تعیین شد و نتایج نشان داد در مکان‌هایی که آشفتگی افزایش پیدا کند، ضریب دبی کاهش می‌یابد. تاکنون مطالعات بسیاری در زمینه‌ی انواع گوناگون سرریزها صورت گرفته است، که از جمله‌ی آن‌ها می‌توان به مطالعاتی در زمینه‌ی سرریزهای لبه تیز، لبه باریک و لبه پهن اشاره کرد.<sup>[۱۰-۱۱]</sup>



شکل ۳. پارامترهای فیزیکی.

عرض کف کانال،  $B$ ، عرض کف سررین،  $V_{ave}$  سرعت متوسط آب در بالادست سررین،  $\sigma$  کشش سطحی آب،  $\rho$  چگالی آب،  $v$  لزجت سینماتیک سیال آب،  $u'$  نوسانهای سرعت در جهت محور طول،  $v'$  نوسانهای سرعت درجهت محور عرض،  $w'$  نوسانهای سرعت در جهت ارتفاع،  $u$  سرعت در جهت محور طول،  $v$  سرعت درجهت محور عرض،  $h$  و  $w$  سرعت درجهت محور ارتفاعها هستند.

پارامترها در ۲ دسته تقسیم شده‌اند. با توجه به رابطه‌ی ۱۰ و قضیه‌ی پی باکینگهام می‌توان تعداد ۷ گروه را بدست آورد. این اعداد در رابطه‌ی ۱۱ مشخص شده‌اند: اعداد فرود، رینولدز و برکه در پدیده‌ی سررین تأثیرگذار هستند. ولی با توجه به مطالعات رانگاراجو و آساوا می‌توان به دلیل ناچیز بودن، از اعداد و بر و رینولدز صرف نظر کرد، چرا که طبق ارتفاع آن‌ها اعداد مذکور زمانی تأثیرگذار هستند که عمق آب بر روی سررین از ۳ سانتی‌متر کمتر شود. در پژوهش مذکور، عمق کمینه‌ی آب ۵ سانتی‌متر برای برآورد ضریب دبی در نظر گرفته شده است. به همین منظور هدف مطالعات حاضر بر روی دیگر اعداد پیگیری شد. از طرفی چون جریان در کانال بالادست سررینها غالباً زیر بحرانی است و عدد فرود کمتر و نزدیک به ۱ است، لذا عدد فرود نیز در ارائه‌ی روابطی برای ضریب دبی سررین می‌تواند کنار گذاشته شود. البته مطالعات مثل مطالعات وطن خواه وجود دارد که ضریب دبی به عدد فرود وابسته است. به دلیل اینکه یکی از اهداف سررین اندازگیری دقیق جریان است و برای محاسبه‌ی عدد فرود نیاز به داشتن سرعت است و چون دبی مشخص نیست، استفاده از عدد فرود به دلیل مشخص نبودن سرعت می‌تواند از ارائه‌ی رابطه‌ی کاربردی جلوگیری کند. با توجه به مطالب ذکر شده، اعداد نهایی برای استفاده در فرمول ضریب دبی در رابطه‌ی ۱۲ مشخص شده است.

$$Cd = f(h, h_2, P, w, B, v', \sigma, \rho, v, V_{ave}) \quad (10)$$

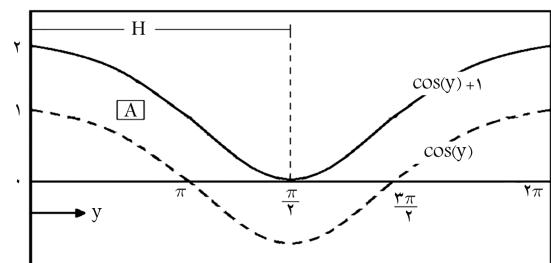
$$Cd = f\left(\frac{gh^3}{\sigma}, \frac{g^{1/5}h^{1/5}}{v} \frac{V_{ave}}{\sqrt{gh}}, \frac{b}{B} \frac{y}{h} \frac{w}{P} \frac{h}{P}\right) \quad (11)$$

$$Cd = f\left(\frac{b}{B} \frac{y}{h} \frac{w}{P} \frac{h}{P}\right) \quad (12)$$

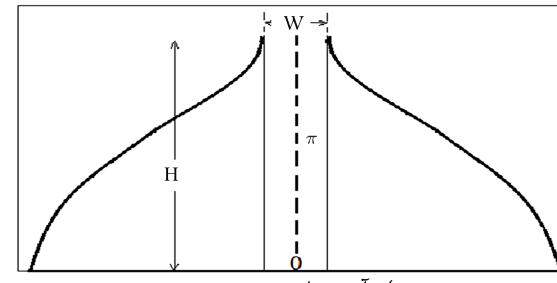
همچنین پارامترهای اجزاء سرعت که از سرعت سنج صوتی محاسبه می‌شوند، می‌توانند به صورت رابطه‌ی ۱۳ در شدت آشفتگی اثرگذار باشند:

$$T_v = f(u', v', w', u, v, w, V_{ave}) \quad (13)$$

که در آن، با حذف سرعت در جهات مختلف فرمول آشفتگی ویلکوکس  $(1993)$  را که در برخی مراجع مشاهده می‌شود،  $[15]$  مطابق رابطه‌ی ۱۴ بازنویسی



الف) برآورد مساحت از تابع کسینوس؛



ب) برآورد مساحت سرریز.

شکل ۴. محاسبه‌ی مساحت سرریز با مقیاس یک.

صرف نظر می‌شود. هر چه ارتفاع تاج سرریز بیشتر باشد، استفاده از تقریب مذکور صحیح‌تر خواهد بود. همچنین با درنظر گرفتن مساحت زیر نمودار تابع کسینوس می‌توان مساحت سرریز را محاسبه کرد که در شکل ۲ به آن اشاره شده است. پس از انتگرال‌گیری از رابطه‌ی  $6$ ، رابطه‌ی محاسبه‌ی دبی برای سررین‌های کسینوسی به صورت رابطه‌های  $7$  و  $8$  بدست می‌آید:

$$Q = \int_{y=0}^{y=h_1} V_r AdA = \int_{y=0}^{y=h_1} V_r b dy \quad (6)$$

$$Q = \int_{y=0}^{y=h_1} \sqrt{2g(y)} [w + 2bcos(\frac{\pi y}{2H})] dy \quad (7)$$

$$Q = Cd \sqrt{2g \left( y + \frac{V_r}{2g} \right)} \times (wy + 2S \times (\sin(\frac{\pi y}{H}) + y)) \quad (8)$$

لازم به ذکر است حل معادله‌ی پیوستگی در پژوهش حاضر با فرض ثابت بودن  $\sqrt{2g(y)}$  از انتگرال خارج شد.

-- تحلیل ابعادی: عامل‌های اصلی تأثیرگذار در جریان از روی سررین را می‌توان به عوامل مربوط به نوع سیال، عوامل مربوط به هندسه‌ی سازه‌ی سررین و نیز عوامل مربوط به ویژگی جریان تفکیک کرد. در رابطه‌ی  $9$ ، عامل‌های مؤثر که در شکل ۳ مشاهده می‌شود، فهرست شده‌اند.

آنالیز ابعادی پارامترها در سه قسمت تقسیم شده می‌شوند: پارامترهایی که به نوع سیال بستگی دارند، پارامترهایی که به نوع جریان بستگی دارند و پارامترهای هندسی که مربوط به ساختار و شکل سازه هستند (شکل ۳). همچنین پارامترهایی که در پژوهش حاضر پیش‌بینی شده‌اند که در شرایط هیدرولیکی تأثیرگذار هستند، در رابطه‌ی  $9$  معرفی شده‌اند.

$$(h, h_2, P, w, B, \sigma, \rho, v, u', v', w', u, v, w, V_{ave}) \quad (9)$$

که در آن،  $h$  عمق آب در بالادست سررین،  $h_2$  عمق آب در پایین دست سررین،  $P$  ارتفاع سررین از کف کانال،  $y$  ارتفاع آب،  $w$  عرض بازشدگی در گلوبی سررین،  $b$

اندازه‌گیری دبی جریان توسط دبی سنج الکترومغناطیس در بالادست سرریز نصب شده روی لوله‌ی خروجی پمپ و همچنین به روش حجمی در پایین دست جریان انجام شده است. همچنین تراز سطح آب توسط عمق سنج با دقیق  $\pm 1$  میلی‌متر بداشت شد. تحلیل میدان جریان و بردارهای سرعت در بالادست سرریز نیز با استفاده از داده‌های اندازه‌گیری شده سرعت سنج سه‌بعدی (ADV) انجام شده است (شکل ۶).

ویژگی‌های دستگاه‌های ۵۰ مگاهرتزی عبارت‌اند از:

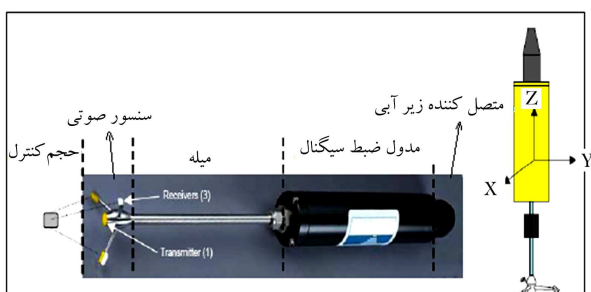
۱. تعداد قرائت در ثانیه‌ی ۱۰ تا ۵۰ مگاهرتز؛
۲. حجم کنترل =  $9 \times 10^{-6}$  میلی‌مترمکعب؛

۳. فاصله‌ی فرستنده پالس تا موقعیت حجم نمونه: ۵ سانتی‌متر؛

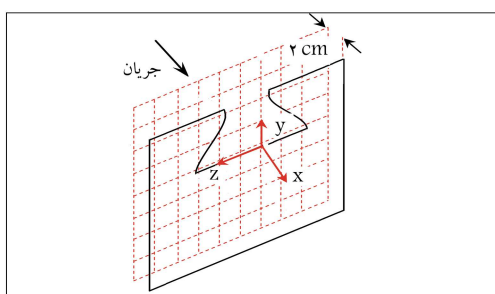
۴. محدوده‌ی سرعت قابل برنامه‌ریزی ( $Cm-Sec$ ) ۰.۲۵۲-۰.۳۲-۱۲-۳ (Cm-Sec).

در پژوهش حاضر برای نشان دادن شرایط جریان سرریز بر وضعیت رسوب‌گذاری در پشت دیواره‌ی سرریز از شدت آشفتگی و نسبت سرعت قائم به سرعت متوسط در شبکه‌ی ترسیم شده در بالادست سرریز برای بداشت داده‌های سرعت در کanal سرریز استفاده شد (شکل ۷).

آزمایش‌های انجام شده: جریان در فاصله‌ی ۰.۵ متری از ابتدای کanal (با توجه به بررسی پروفیل سرعت و یکسان شدن پروفیل در طول کanal) توسعه یافته است. از این رو سرریزها تقریباً در وسط کanal آزمایشی و در فاصله‌ی ۰.۵ متری از ابتدای کanal نصب و کلیه‌ی آزمایش‌ها در شرایط زیر بحرانی انجام شدند. این تذکر لازم است که برای بداشت مقادیر سرعت در پشت سرریز، یک شبکه‌ی فرضی به ابعاد  $2 \times 2$  سانتی‌متری به فاصله‌ی ۲ سانتی‌متری از سرریز در نظر گرفته شد و در نقاط رأس شبکه، اندازه‌گیری‌ها انجام شده است. شکل ۷، نمای سرریز کسینوسی و مقطع برداشت پروفیل سرعت را نشان می‌دهد.



شکل ۶. تصویر دستگاه اندازه‌گیری سرعت سنج به روش صوتی انعکاسی ۲۵ مگاهرتز.



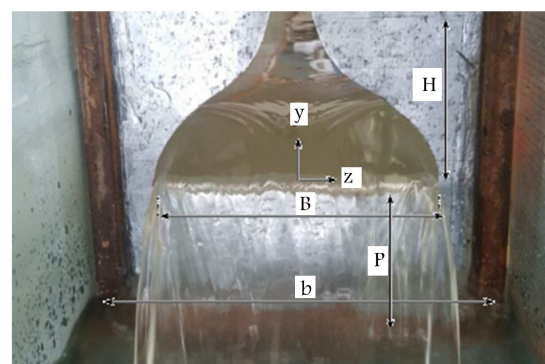
شکل ۷. وضعیت قرارگیری شبکه‌بندی سرعت.

کرد:

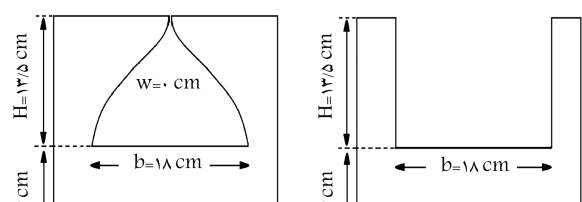
$$T_V = \frac{(u'^2 + v'^2 + w'^2)^{1/2}}{3V_{ave}} \quad (14)$$

فلوم آزمایشگاهی: فلوم آزمایشگاهی موردنظر ابعادی به طول ۱۰ متر، عرض ۳۰ سانتی‌متر و ارتفاع ۴۰ سانتی‌متر دارد. دیوار و گف فلوم از جنس پلکسی‌گلس شفاف به ضخامت ۱۰ میلی‌متر است. فلوم آزمایشگاهی به وسیله‌ی یک موتور پمپ با بیشینه‌ی ۵۰ لیتر بر ثانیه تقدیم شده و تغییرات دبی در آن به وسیله‌ی تغییرات توان پمپ تقدیم صورت گرفته است. شکل ۴، وضعیت فلوم را نشان می‌دهد.

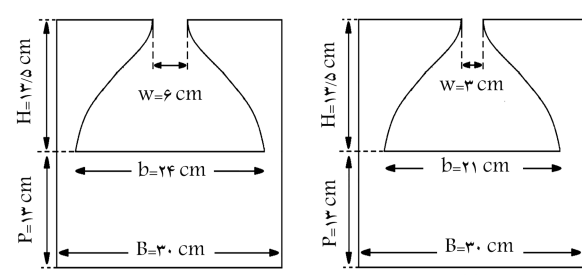
مدل‌های آزمایشگاهی: با توجه به ابعاد کanal، سه مدل سرریز لبه تیز با دیواره‌ی فشرده‌گی نیم‌سیکل تابع کسینوس با عرض بازشدگی متفاوت به عنوان مدل‌های اصلی و یک مدل سرریز مستطیلی به عنوان مدل شاهد انتخاب شدند (شکل ۵). با توجه به نیروی وارده بر سازه‌ی مذکور و نیز سهولت برش، مدل‌های آزمایشگاهی از ورق آهن با ضخامت ۲ میلی‌متر ساخته شدند. پایه‌های نگهدارنده، برای ثبات سرریز در مکان خود استفاده شدند. در شکل ۵، اندازه‌های مدل‌ها معرفی شده است.



شکل ۴. وضعیت قرارگیری سرریز در فلوم آزمایشگاهی.



(الف) سرریز مستطیلی شاهد؛  $w/d = 1$  با  $b = 18$  cm



(ب) سرریز کسینوسی مدل ۱ با  $b = 18$  cm

شکل ۵. مدل‌های آزمایشگاهی.

تاج سرریز را ارائه می‌کند (بسن ۱۹۷۶). با برآورد سرعت در سرریز و محاسبهٔ مساحت از رابطهٔ ۸ و نیز مقادیر اندازه‌گیری دبی متضاد می‌توان ضریب  $C_d$  را با استفاده از رابطهٔ ۱۶ محاسبه کرد:

$$V_1 = C_d \sqrt{2gy} \quad (15)$$

$$Q_{eq} = \sqrt{2g(y)} \times (wy + 2S \times (\sin(\frac{\pi y}{H}) + y)) \quad (16)$$

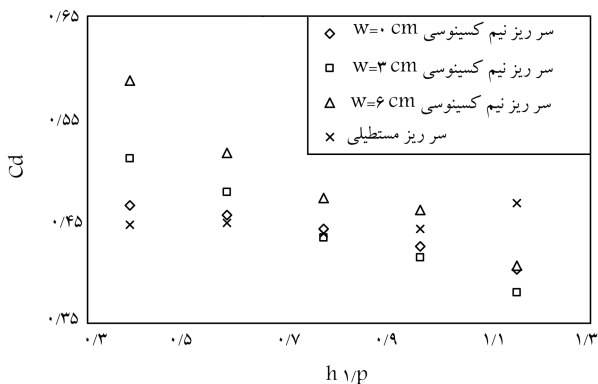
$$C_d = \frac{Q_{ex}}{Q_{eq}} = \frac{Q_{experimental}}{(\sqrt{2gy} \times (wy + 2S \times (\sin(\frac{\pi y}{H}) + y)))}$$

که در آن،  $Q_{eq}$  دبی واقعی و  $Q_{ex}$  دبی تئوری هستند. تغییرات ضریب دبی در

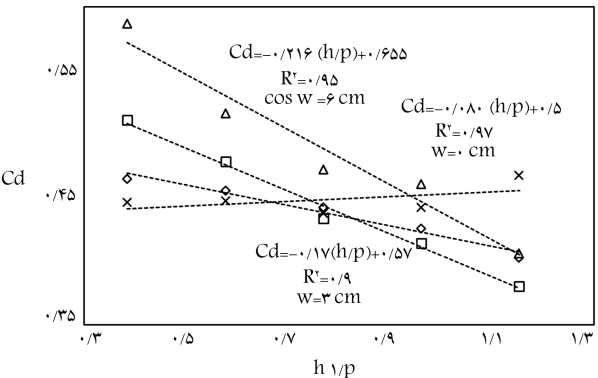
برابر نسبت عمق نسبی ( $h/p$ ) در شکل ۸ ترسیم شده است.

نتایج سرریز مستطیلی نشان می‌دهد که ضریب دبی اندازه‌گیری شده، تغییرات کمی نسبت به تغییرات عمق بالاً دارد. در صورتی که در مدل‌های کسینوپسی، حساسیت به تغییرات ارتفاع آب زیاد است و هر چه  $w$  بزرگ‌تر باشد، به دلیل نوع مقطع جریان، میزان حساسیت بیشتر می‌شود و با افزایش ارتفاع آب در بالاً دست ضریب دبی کاهش می‌یابد. این نکته با توجه به شکل ۸ و مقایسهٔ مدل‌های  $w/b = 0, 2$  و  $w/b = 0, 1$  کاملاً مشهود است. رابطهٔ ۱۷، از رگرسیون‌گیری بین داده‌های آزمایشگاهی در بازشدنگی مختلف برای محاسبهٔ ضریب دبی برای سرریزهای با دیواره‌ی نیم‌سیکل کسینوپسی، با توجه به روابط شکل ۹ و استفاده از معادلات برآش داده شده به دست آمده است. برای صحبت‌سنجهٔ ضریب به دست آمده از رابطهٔ تحلیلی ۱۷، نتایج با مقادیر ضریب مشاهداتی مقایسه شدند (شکل ۱۰).

$$C'_d = -0,08(\frac{h}{P}) - 0,025(\frac{w}{P}) + 0,5 \quad (17)$$



شکل ۸. تغییرات ضریب سرریز در مقادیر مختلف.



شکل ۹. برآش معادلات بر ضریب سرریز با بازشدنگی در مدل‌های مختلف.

آزمایش‌ها برای ۵ تراز سطح آب در بالاً دست سرریز (بسن ۱۲,۵, ۱۰, ۷,۵, ۵) و ۱۵ سانتی‌متر انجام شدند. هم‌زمان دبی به روش حجمی در پایین دست اندازه‌گیری شد. همچنین تعداد ۲۰ آزمایش برای مدل‌ها طرح ریزی شدند، که در جدول ۱، آزمایش‌ها به صورت اجمالی و شرایط موجود توضیح داده شده‌اند. در ادامه، با توجه به روابط حاکم بر سرریز لبهٔ تیز با دیواره‌ی نیم‌سیکل کسینوپسی و دبی اندازه‌گیری شده در کanal در ارتفاع آب در بالاً دست سرریز ضریب دبی محاسبه و سعی در ارائهٔ رابطه‌ی با توجه به بازشدنگی و ارتفاع آب در بالاً دست سرریز شد. با بی‌بعد کردن سرعت در جهت قائم، تأثیر تغییر بدنهٔ سرریز نیم‌سیکل کسینوپسی بر وضعیت جریان بررسی شد. این تذکر لازم است که بررسی وضعیت جریان با استفاده از سرعت‌سنج صوتی در بیشینه‌ی ارتفاع آبگیری سرریز انجام شده است.

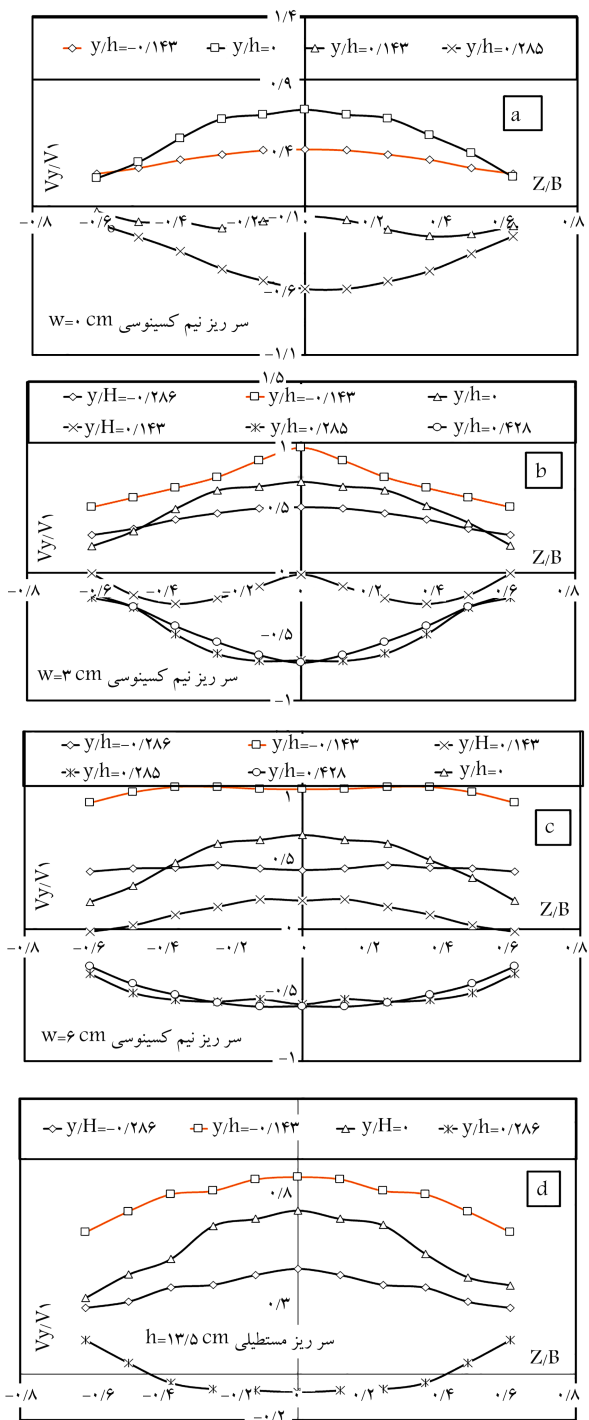
با تحلیل جریان عبوری از روی سرریزهای کسینوپسی و مقایسهٔ آن با سرریزهای شاهد مستطیلی، خصوصیات هیدرولیکی جریان و روند تغییرات جریان قائم در مجاورت سرریزها بحث و بررسی شد. تحلیل اولیه نشان می‌دهد که شکل خاص دیواره‌ی سرریزهای کسینوپسی سبب شدید تغییرات جریان‌های ثانویه و شدت آشفتگی در پشت سرریز می‌شود که در ادامه به صورت مفصل ارزیابی شده است.

## ۴. نتایج و بحث

ضریب سرریز برای محاسبهٔ ضریب دبی با تغییر هد بالاً دست سرریز مقدار دبی در پایین دست سرریز به صورت حجمی اندازه‌گیری می‌شود. رابطهٔ ۱۵ سرعت در

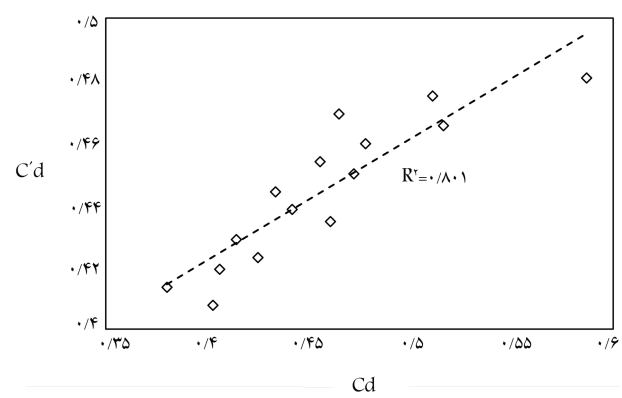
جدول ۱. آزمایش‌های انجام شده.

$Q$ (l/s)	$P$ (cm)	$h$ (cm)	$w/b$ (cm)	مدل سرریز
شاهد	۳,۹	۵		
	۷,۳	۷,۵		
	۱۱	۱۳	۱۰	-
	۱۵,۵	۱۲,۵		
	۲۱,۶	۱۵		
	۳,۸	۵		
	۶,۶	۷,۵		
	۹,۵	۱۳	۱۰	۰
	۱۲,۲	۱۲,۵		
	۱۴,۳	۱۵		
مدل ۱	۴,۹	۵		
	۸,۳	۷,۵		
	۱۲,۲	۱۳	۱۰	۰,۱
	۱۴,۳	۱۲,۵		
	۱۶,۵	۱۵		
	۵,۵	۵		
	۱۰,۳	۷,۵		
	۱۴,۲	۱۳	۱۰	۰,۲
مدل ۲	۱۸,۷	۱۲,۵		
	۲۰,۷	۱۵		
مدل ۳				



شکل ۱۱. نسبت سرعت قائم به سرعت متوسط در مدل‌ها.

بازشدنگی در سر زیر نیم کسینووی، سرعت به سمت بالا از دیوارها به مرتب افزایش پیدا می‌کند. با مقایسه مقدار مذکور با سر زیر مستطیلی می‌توان بیان کرد که سر زیر نیم سیکل کسینووی در نزدیکی ستر، مؤلفه‌ی سرعت را به بالای بیشتری نسبت به سر زیر مستطیلی دارد. همچنین با تبدیل دیواره‌ی سر زیر به تابع نیم سیکل کسینووی در دیوار کanal، مقدار ذکر شده افزایش پیدا می‌کنند. برای مقدار  $y/h = -0, 286$  در این روند نیز قابل مشاهده است. همچنین در شکل ۱۲، نسبت  $w/V_{ave}$  به صورت خوپاگرافی ترسیم شده است که با مشاهده آن‌ها مشخص می‌شود که افزایش  $w$

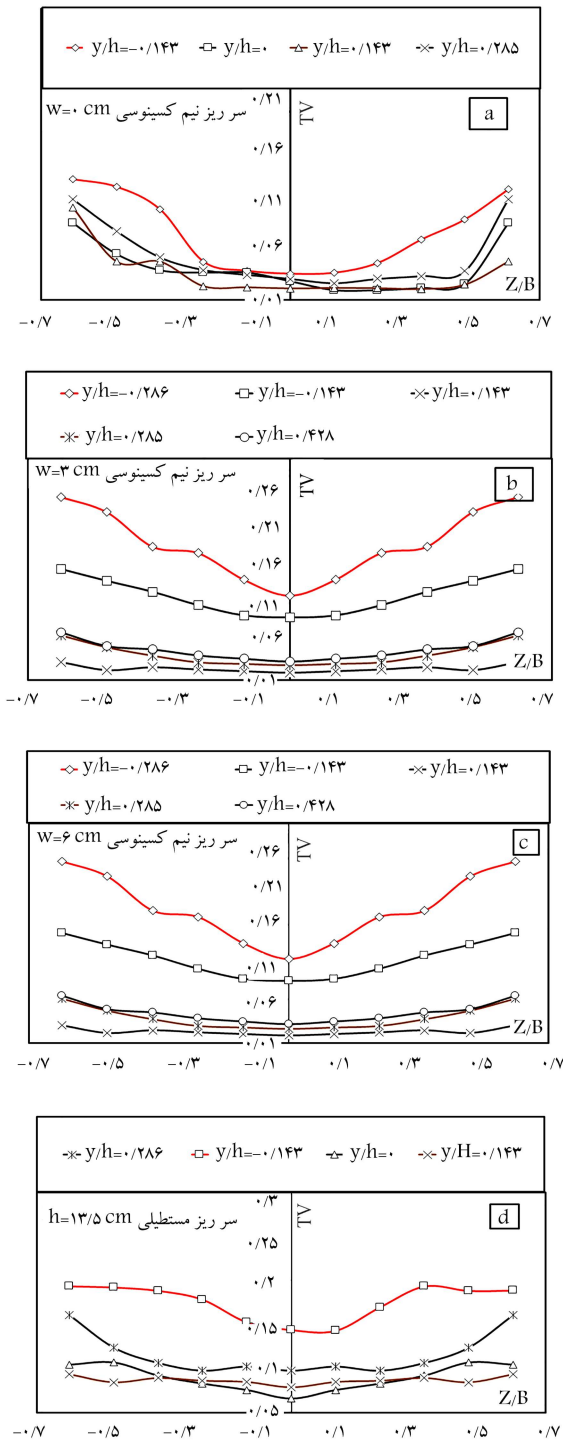


شکل ۱۲. صحبت‌سنگی ضریب دبی محاسباتی.

-- تحلیل جریان بالا دست سر زیر: آزمایش‌ها، با فرض پربودن سر زیر، یعنی سطح جریان تا بالای گلوبی، انجام شدند. مؤلفه‌های سرعت در جهت‌های  $x$ ،  $y$  و  $z$  با استفاده از سرعت سنج صوتی محاسبه شدند. سر زیرها با هدف بالا بردن شدت آشفتگی و کاهش رسوب‌گذاری در پشت سر زیر طراحی شده‌اند. در صفحه‌ی بالادست سر زیر (۲ سانتی‌متر بالاتر)، شدت آشفتگی و همچنین نسبت سرعت در جهت قائم محاسبه شدند (همان‌طور که قبل اشاره شد، منظور از صفحه‌ی بالادست سر زیر صفحه‌یی است که در شکل ۷ معرفی شده است) برآورد شدت آشفتگی با استفاده از رابطه‌ی ۱۴ انجام شد. رابطه‌ی ۱۴ از متوسط نوسان‌های سرعت به سرعت متوسط جریان در یک نقطه توسط ویلکاکس (۱۹۹۳<sup>[۱۵]</sup>) ارائه شده است که با پیشرفت علم هیدرولیک و استفاده از ابزار دقیق اندازه‌گیری در بسیاری از پژوهش‌های حاضر برای برآورد شدت آشفتگی استفاده می‌شود. درنهایت، مقادیر محاسبه شده با حالت شاهد مقایسه شد. وضعیت سرعت جریان در جهت قائم در شکل ۱۱ قبل مشاهده است. هدف اصلی طراحی سر زیر مذکور جلوگیری از انباشت رسوب‌های پشت آن است. به همین خاطر در تحلیل ابعادی سرعت، مؤلفه‌ی سرعت در جهت قائم، اهمیت بیشتری نسبت به سایر جهت‌ها دارد. بدین خاطر با محاسبه‌ی مؤلفه‌ی سرعت در جهت قائم و همچنین نوسان‌های سرعت در جهت‌های مختلف در هر یک از نقاط شبکه‌بندی در بالادست سر زیر، شدت آشفتگی برای حالت‌های مختلف مدل‌ها در شکل ۱۳ ارائه شده است.<sup>[۱۶-۱۸]</sup>

$$T_V = \frac{(u'^2 + v'^2 + w'^2)^{1/2}}{3V_{ave}} \quad (18)$$

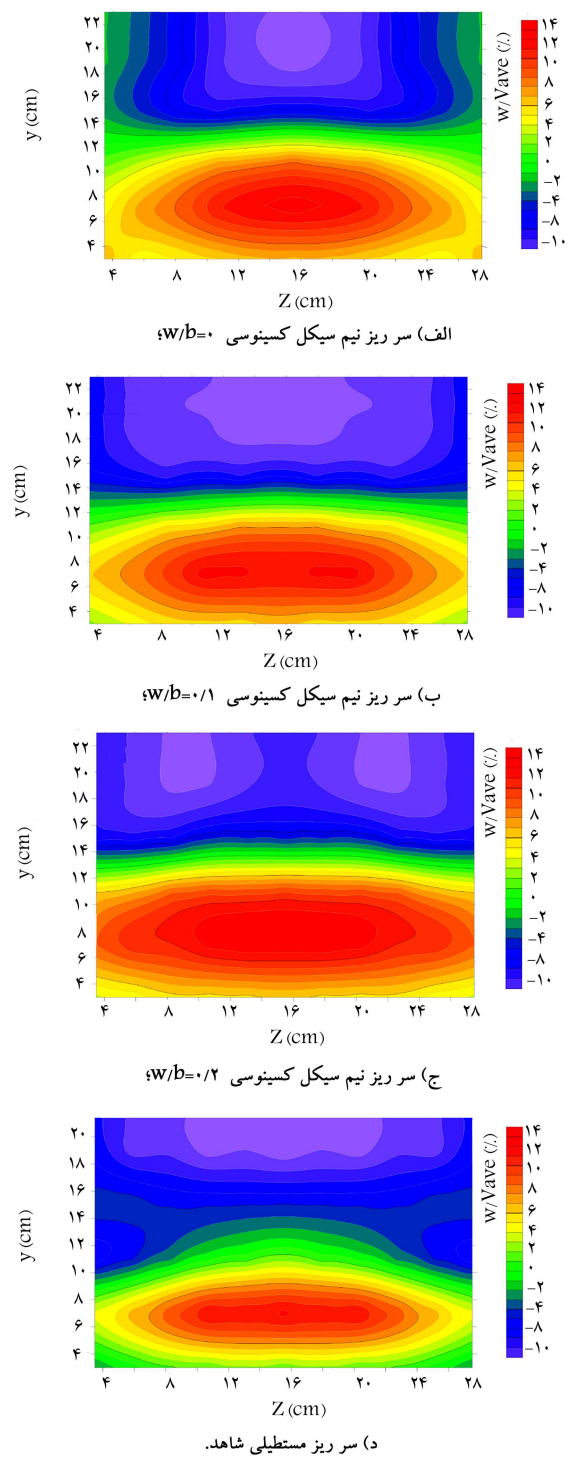
در شکل ۱۱، مقادیر نسبت سرعت قائم به سرعت متوسط در کanal بالادست ترسیم شده است. برای نمایش و مقایسه تأثیر بازشدنگی سر زیرها از اعداد بی بعد هندسی استفاده شده است. که از جمله‌ی آن‌ها می‌توان به مقدار  $Z/b$  که مقدار بی بعد شده نمودار در جهت افقی است و همچنین در شبکه‌بندی پشت سر زیر، عدد بی بعد  $h/y$  که مقدار ارتفاع نقطه از تاج سر زیر (شکل ۷؛ وضعیت قرارگیری مبدأ مختصات) بر عمق پرجریان سر زیر است، اشاره کرد. با توجه به ترمالیزه کردن نمودارهای  $y$  و  $z$ ، پارامتر بی بعد  $w/V_{ave}$  در انواع سر زیرها ارزیابی و بحث شده است.  $w/V_{ave}$  نمایانگر سرعت در جهت قائم در پشت سر زیرهاست، لذا می‌توان نتیجه گرفت که با افزایش بازشدنگی سر زیر کسینووی، سرعت در جهت دیواره‌های کanal افزایش پیدا می‌کند. برای درک این موضوع اگر  $y/h = -0, 143$  به  $y/h = -0, 286$  به عنوان ارتفاعی در نزدیکی بستر در شبکه‌بندی پشت سر زیر در نظر گرفته شود (منحنی خطچین)، با توجه به شکل‌های ۱۱ (الف، ب و ج) مشاهده می‌شود که با افزایش



شکل ۱۳. شدت آشفتگی برای مدل‌های انتخابی.

سررین جریان به سمت بالا در سرریزهای کسینووسی به مراتب بیشتر از جریان رو به بالای سرریز مستطیلی است. شدت آشفتگی در صفحه‌ی بالادست سرریز نیز از رابطه‌ی ۱۴ محاسبه و در شکل ۱۳ برای مدل‌های مختلف ارائه شده است.

با توجه به شکل‌های ۱۳ (الف الی د) و با درنظرگرفتن منحنی  $y/h = -0.286$  می‌توان مشاهده کرد که با افزایش بازشدنگی سرریز، شدت آشفتگی در دیوارها در



شکل ۱۲. خطوط کنتور سرعت در جهت قائم در صفحه‌ی بالادست سرریزها.

(عرض گلوبی) در سرریزهای نیم‌سیکل کسینووسی باعث افزایش جریان به سمت بالا (از کف کانال به سمت تاج سررین) می‌شود. همچنین در مدل شاهد (سرریز مستطیلی) این مقدار بیشتر متوجه زیر تاج است و به مراتب کمتر از سرعت در جهت قائم سرریز کسینووسی است.

با افزایش تراز سطح آب در پشت سرریز به دلیل ریزش آب به پایین دست، سرعت در جهت قائم منفی خواهد بود که این امر بدیهی است؛ ولی در زیر تاج

در مدل‌های سرریز کسینوپولی به ازاء افزایش ارتفاع در روی تاج، ضریب دبی روند کاهمتی دارد. در زمانی که  $0,78 = \frac{h}{p}$  شود، ضریب دبی برابر با ضریب دبی سرریز مستطیلی می‌شود. با استفاده از سرریز نیم‌سیکل کسینوپولی، شدت آشفتگی در پایین دست لبه‌ی سرریز از سرریز مستطیلی بیشتر می‌شود. از طرفی شدت آشفتگی آنقدر افزایش پیدا نمی‌کند که ضریب دبی سرریزهای کسینوپولی از ضریب دبی‌های مستطیلی کمتر شود. به عبارت دیگر، با این مورد به ازاء ضریب دبی یکسان بین سرریزهای کسینوپولی و مستطیلی با توجه به شکل ۱۳، مقدار آشفتگی بیشتری در سرریزهای کسینوپولی رخ می‌دهد. این عامل باعث می‌شود با ضریب دبی قابل قبول، همچنان رسوب‌شویی در پشت سرریز کسینوپولی از سرریز مستطیلی بیشتر شود، که می‌تواند یکی از مزیت‌های سرریزهای کسینوپولی برای استفاده به جای سرریزهای مستطیلی لبیه تیز باشد. با توجه به شکل ۱۳ این مطلب قابل استحصال است، در سرریزهای کسینوپولی اگرچه شدت آشفتگی در پشت سرریز بیشتر از مدل سرریز مستطیلی است، ولی به دلیل تشکیل شدت آشفتگی در نزدیک کف کانال سرریزهای کسینوپولی، شدت آشفتگی در جت خروجی عبور کرده از روی تاج تأثیر ندارد و در زیر تاج، تأثیری در ضریب دبی نخواهد گذاشت. در صورتی که سرریز مستطیلی شدت آشفتگی در زیر و نزدیک لبه‌ی تاج رخ می‌دهد که به خودی خود این عامل باعث کاهش ضریب دبی در هنگام عبور جریان نسبت به سرریزهای مستطیلی می‌شود.

در تحلیل ضریب دبی برای سرریزهای با دیواره‌ی نیم‌سیکل کسینوپولی، در صورتی که ارتفاع آب  $0,78 \leq \frac{h}{p}$  شود، ضریب دبی افزایش پیدا می‌کند، ولی در صورتی که  $\frac{h}{p} \geq 0,78$ ، این امر موجب کاهش ضریب دبی در حالت‌های مختلف بازشده  $= 0,10/0,02 = \frac{B}{W}$  می‌شود. همچنین رابطه‌ی ۷ برای محاسبه‌ی ضریب دبی معروفی شد که با داده‌های آزمایشگاهی مقایسه شد.

مقایسه‌ی سرعت قائم  $\frac{w}{V_{ave}}$  بین مدل‌های اول تا سوم با حالت شاهد (سرریز مستطیلی) نشان می‌دهد که با بازشده بیشتر، نسبت  $\frac{w}{V_{ave}}$  برای مدل سوم نسبت به مدل‌های اول و دوم بیشتر خواهد شد. همچنین سرریز با دیواره‌ی نیم‌سیکل کسینوپولی، جریان رو به بالای بیشتری نسبت به سرریز شاهد (مستطیلی) خواهد داشت.

همچنین با مقایسه‌ی آشفتگی بین مدل‌های آزمایشگاهی می‌توان نتیجه‌گرفت که با تغییر دیواره‌ی سرریز لبه تیز مستطیلی به سرریز با دیواره‌ی نیم‌سیکل کسینوپولی، شدت آشفتگی در دیواره‌های کناری نسبت به حالت شاهد بیشتر خواهد شد. همچنین مقایسه‌ی شدت آشفتگی سرریز با دیواره‌ی نیم‌سیکل کسینوپولی با سرریز مستطیلی نشان داد که تغییرات شدت آشفتگی از مرکز کانال تا دیواره‌ی کناری برای سرریز کسینوپولی در صفحه‌ی اندازه‌گیری شده با شبیب بیشتری نسبت به سرریز مستطیلی افزایش پیدا می‌کند. این امر باعث می‌شود که در دیواره‌های کناری سرریز نیم‌سیکل کسینوپولی، اختلاط جریان بیشتر باشد.

## ۵. نتیجه‌گیری

به طور کلی سرریزهای کسینوپولی طرح جدیدی از سرریزها هستند که با روش استفاده از بالابردن شدت آشفتگی در بالادست سرریز، امکان کاهش رسوب‌گذاری در بالادست سرریز را فراهم می‌کنند. نتایج پژوهش حاضر نشان داد که با افزایش

بسیار افزایش پیدا می‌کند. اندازه‌گیری شدت نوسان‌ها و اغتشاش ایجاد شده توسط سرعت سنج ADV در ناحیه‌ی بالادست سرریز حاکی از این است که افزایش تلاطم به مراتب در دیواره نسبت به مرکز کانال بیشتر است. مقایسه‌ی شرایط ذکر شده با سرریز مستطیلی حاکی از آن است که سرریز با دیوار کسینوپولی به مراتب تلاطم بیشتری نسبت به سرریز مستطیلی درک و دیوارها در پشت سرریز دارد. علت این موضوع را می‌توان به دلیل افزایش نوسان‌های سرعت در جهت‌های مختلف دانست که باعث ایجاد تغییرات معناداری در مقدار نوسان‌های سرعت می‌شود. وجود دیوارهای مذکور، جریان گردابی که در سرریزها رخ می‌دهد (باود  $2000$ )،<sup>[۱]</sup> را افزایش می‌دهد.

با توجه به شکل ۱۳ و همچنین روابط حاکم بر شدت آشفتگی مشخص می‌شود که در سرریزهای کسینوپولی، شدت آشفتگی به مراتب مقادیر بیشتری نسبت به حالت شاهد (سرریز مستطیلی) دارند. با توجه به فرمول شدت آشفتگی، این مقدار با افزایش نوسان‌های سرعت در جهت‌های مختلف افزایش پیدا می‌کند. با برداشت نوسان‌های ذکر شده و تحلیل داده‌های سرعت سنج ADV و نرم‌افزار WinADV شکل ۱۳ ترسیم و مشخص شد که دیوار کسینوپولی در سرریزها باعث ایجاد تغییرات معناداری در مقدار نوسان‌های سرعت می‌شود. وجود دیوارهای کسینوپولی، جریان گردابی که در سرریزها رخ می‌دهد (باود  $2000$ )، را افزایش می‌دهد. این افزایش شدت جریان گرداب به خودی خود عاملی بر افزایش نوسان‌های سرعت می‌شود. با افزایش نوسان‌های سرعت، شدت آشفتگی نیز افزایش پیدا می‌کند. به صورت دقیق‌تر، این پروسه در سرریزها اتفاق می‌افتد که توسط پژوهشگران مختلفی که قبل اشاره شد، گزارش شده است. در مطالعات پیشین، جریان گرداب در دو قسمت وجود دارد: یکی از سمت سطح آب به سمت تاج سرریز و دیگری از سمت کف کانال به سمت تاج سرریز، که جمعاً تعداد ۴ گرداب در پشت سرریزها رخ می‌دهد. سرریزهای کسینوپولی با شکل هندسی منحصر به فردی که دارند باعث افزایش گردابهای تشكیل شده در باللهای فشرده‌کی سرریز می‌شوند. این افزایش به خودی خود به سمت تاج سرریز برای خروج حرکت می‌کند. برخورد دو جریان گردابه در زیر تاج سرریز کسینوپولی باعث می‌شود که جریان‌های ذکر شده نوسان‌های سرعت را افزایش دهند. با محاسبه‌ی شدت آشفتگی، به نوعی وضعیت افزایش نوسان‌ها و جریان‌های رفت و برگشتی تأیید می‌شود. با توجه به شکل ۱۳ پیش‌بینی می‌شود که این افزایش شدت آشفتگی در دیواره‌ها به خودی خود دلیل بر افزایش قدرت جریان گردابی که در سرریزهای لبه تیز است.

درنهایت پیش‌بینی می‌شود که تلاطم ایجاد شده می‌تواند از رسوب‌گذاری در پشت دیواره‌ی سرریز جلوگیری کند و بار رسوب کف را کاهش دهد. این مطلب که افزایش شدت آشفتگی باعث کاهش رسوب‌گذاری می‌شود، توسط عربیضی و همکاران،<sup>[۲]</sup> تأیید شده و نتایج کلی منطبق با گزارش‌های آن‌هاست. همچنین با مقایسه‌ی شدت آشفتگی در  $y/h = 0,284$  (در  $4$  سانتی‌متری بالای لبه‌ی سرریزها) توزیع شدت آشفتگی نشان می‌دهد که در بالای سرریزهای با دیواره‌ی کسینوپولی، شدت آشفتگی نسبت به سرریز مستطیلی بیشتر است که این موضوع می‌تواند کم شدن ضریب دبی در این نوع سرریز در حالت پر باشد. اگر با افزایش آشفتگی، جدایش جریان در لبه‌ی سرریز رخ دهد، باعث کاهش ضریب دبی می‌شود.

لذا مشخص می‌شود که اگر بهترین ارتفاع آب‌گیری سرریزهای کسینوپولی،  $0,78$ % ارتفاع کل نیم‌سیکل باشد در این صورت ضریب دبی از ضریب دبی سرریز مستطیلی کمتر نمی‌شود. برای درک بهتر موضوع با توجه به شکل ۸،

و نشان داد که تغییرات ضریب دبی به میزان جریان، وابستگی زیادی دارد.

## تشکر و قدردانی

با سپاس و تشکر از اعضاء هسته‌ی پژوهشی سازه‌های آبی دانشگاه فردوسی مشهد،  
که در گردآوری پژوهش حاضر کوشش فراوان کردند.

شدت آشفتگی در قسمت زیر ناج سرریز میزان اختلاط در جریان افزایش می‌یابد که سبب جلوگیری از رسوب‌گذاری در بالا دست سرریزها می‌شود. نتایج بررسی آشفتگی در سرریزهای کسینوسی حاکی از افزایش مقدار مذکور نسبت به سرریز مستطیلی است. همچنین مقایسه بین مقادیر شدت آشفتگی در مدل‌های آزمایشگاهی با مدل شاهد نشان می‌دهد که شدت آشفتگی در دیوارها تا مقدار ۱۹٪ افزایش می‌یابد. ضریب دبی نیز با استفاده از تحلیل ابعادی و به کمک رگرسیون خطی به دست آمد.

## منابع (References)

1. Baud, O. and Hager, W.H. "Tornado vortices in settling tanks", *J. Environ.*, **126**(2), pp. 189-191 (2000).
2. Ota, K., Sato, T., E Arai, r. and et al. "Local scour upstream of a slit weir: Ordinary differential equation-based model under steady and unsteady flow conditions", *J. Hydraul. Eng.*, **143**(1), pp. (2016).
3. Guan, D., Melville, B.W. and Friedrich, H. "Flow patterns and turbulence structures in a scour hole downstream of a submerged weir", *Journal of Hydraulic Engineering*, **140**(1), pp. 68-76 (2014).
4. Guan, D., Melville, B.W. and Friedrich, H. "Live-bed scour at submerged weirs", *Journal of Hydraulic Engineering*, **141**(2), pp. (2015).
5. Guan, D., Melville, B.W. and Friedrich, H. "Live-bed scour at submerged weirs", *Journal of Hydraulic Research*, **54**(2), pp. 172-184 (2015).
6. Oreizi, Z., Heidarpoor, M. and Bagheri, S. "Hydraulic characteristics of flow over sinusoidal sharp-crested weirs", *Journal of Irrigation and Drainage Engineering*, **141**(3), pp. (2015).
7. Ramamurthy, S.Y., Kai, J. and Han, S.S. "V-Shaped multisite weirs", *ASCE*, (2013).
8. Crookston, B.M. and Tullis, B.T. "Arced labyrinth weirs", *Journal of Hydraulic Engineering*, **138**(6), pp. (June, 2012).
9. Azimi, A.H., Rajaratnam, N.Z. and Zhu, D. "Water surface characteristics of submerged rectangular sharp-crested weirs", *Journal of Hydraulic Engineering*, **142**(5), pp. (2016).
10. Azimi, A.H., Rajaratnam, N.Z. and Zhu, D. "Discharge characteristics of weirs of finite crest length with upstream and downstream ramps", *Journal of Irrigation and Drainage Engineering*, **139**(1), pp. (2016).
11. ADV Field Operation Manual, SonTek Company (2001).
12. Brayshaw, A.C., Frostick, L.E. and Reid, I. "Hydrodynamics of particle clusters and sediment entrainment in coarse alluvial channels", *Sedimentology*, **30**(1), pp. 137-143 (1983).
13. Roy A.G. Buffin-Belanger, T. and "Effects of a pebble cluster on the structure of a depth-limited flow in a gravel-bed river on the turbulent structure of a depth-limited flow in a gravel-bed river", *Geomorphology*, **25**(3-4), pp. 249-267 (1998).
14. Cea, L., Puertas, J. and Pena, L. "Velocity measurements on highly turbulent free surface flow using ADV", *Experiments Fluids*, **42**(3), pp. 333-348 (2007).
15. Wilcox, D.C. "Turbulence modeling for CFD", DCW Industries, La Canada, CA (1993).
16. Chang, H.H. "Fluvial processes in river engineering", Reprint Ed. Wiley, New York (1998).
17. Finelli, C.M., Hart, D.D. and Fonseca, D.M. "Evaluating the spatial resolution of an acoustic Doppler velocimeter and the consequences for measuring near-bed flows", *Limnology and Oceanography*, **44**(7), pp. 1791-1801 (1999).
18. Ge, L., Lee, S.O., Sotiropoulos, F. and et al. "3D unsteady RANS modeling of complex hydraulic engineering flows", *II: Model validation and flow physics. J. Hyd. Eng.*, **131**(9), pp. 809-820 (2005).